

広島大学 正 眞 林 公 重

今まで小形模型杭(直径10, 20, 40mm)を用いて摩擦杭の杭先角度が異なった場合の支持力杭先抵抗杭周抵抗について種々検討した。その結果は第20回年次学術講演会に発表した如くである。

本報告は更に杭の直径を大きくした中形模型杭(直径29, 101.6, 152.2mm)を用いて行った実験結果について述べる。用いた中形模型杭の詳細は表-1の如くである。この

実験は室外に3m×3mの図-1に示す如き実験場を作つて実施した。使用した土は表-2の如く実験時の土の内部摩擦角は約30°密度は140±0.03%程度である。この土に模型杭を打ち込み支持力杭先抵抗杭周抵抗の測定を行った。その結果は図-2, 3, 4の如くである。図-2の支持力に占める杭先抵抗杭周抵抗の割合は殆んど杭先抵抗であり杭周抵抗は極く僅かであった。これは根入水深さが異なるためであり、根入水深さが深くなつた場合支持力に占める杭先抵抗杭周抵抗の割合はあまり変化するものと考へる。

図-2, 3, 4の結果を第20回年次学術講演会に発表した結論と比較すると杭の直径が大きくなるに従つて適合し難くなる。このことは杭の模型実験は相似率を成り立たないから尙意義であると言ふ説を裏付けたものであるが、図-2, 3, 4の実験結果も基に次の如く考へてみた。

今年第20回年次学術講演会概要(1)表によつて、中3項は小さいので省略する

$$\text{杭先抵抗} = \pi r^2 \frac{1 + \frac{H}{L} + \frac{2\alpha + C \tan \lambda}{1 + \frac{2\alpha}{L}}}{1 + \frac{2\alpha}{L}} \delta H K_p \dots (1)$$

$$\text{杭周抵抗} = \frac{1}{2} L K_u r (H - L)^2 \dots (2)$$

であるが地盤も同一条件で同一根入水深さ同一杭先角度とも考へた場合、 $\pi r^2 \frac{1 + \frac{H}{L} + \frac{2\alpha + C \tan \lambda}{1 + \frac{2\alpha}{L}}}{1 + \frac{2\alpha}{L}}$, δ, H, L は一定となり結論的には、しるすなわち直径が変化した場合の土の内部摩擦角中を検討することになる。

表-1 中形模型杭の詳細

杭の種類	杭の形式	直径(mm)	杭先角度(°)	長さ(mm)		重量(kg)		合計
				全長	杭先	杭先	杭筒	
中形模型杭	二重管式散鋼	75.9	60	801	6.58	11.80	6.00	19.80
			20		2.84	10.22	2.86	13.08
		101.6	60	600	8.75	8.19	4.78	12.95
		100			9.25	8.15	5.24	13.39
		152.2	60	800	13.18	18.34	15.90	34.44

図-1

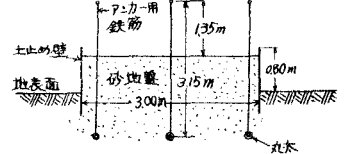


図-2 杭先角度および直径が異なるときの支持力

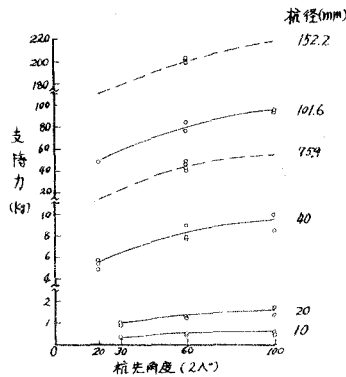


表-2 土質分析

711-1 (mm)	液性率 (%)	塑性指数 (%)
4.8	6.8	6.8
2.0	12.4	19.2
0.84	36.2	55.4
0.42	33.2	88.6
0.25	7.8	96.4
0.11	2.4	98.8
0.075	0.4	99.2
以下	0.8	100.0

図-3 杭先角度および直径が異なるときの杭先抵抗

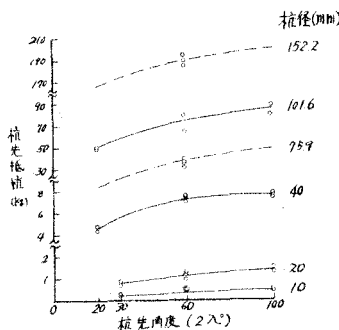
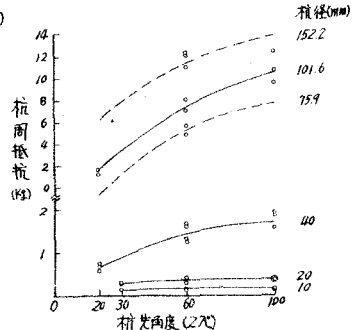
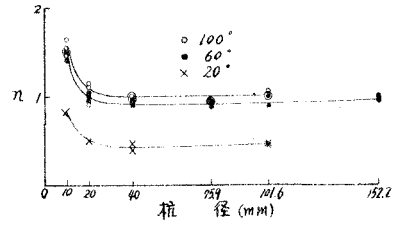


図-4 杭先角度および直径が異なるときの杭周抵抗



換算すれは杭の直径の変化による周辺土の変化の状態を検討することになる。(1),(2)式により $K_p = \tan(\phi + \frac{\sigma}{2})$, $K = 1 + \tan^2 \phi$ と一応定義されておるので、これを基に前記実験値との関係をおぼすと杭先抵抗の場合 $K_p e^{\alpha}$ の e^{α} を杭周抵抗の場合 $K = 1 + (\delta \tan \phi)^2$ の δ を決定すれはよいことになり、プラントル同様 $\alpha = \pi \tan \phi$, $\delta = \tan \phi$ とおき、 δ をおぼ $\frac{\tan \phi}{\tan \phi} = n$, $\frac{\tan \phi}{\tan \phi} = m$ とおき $n =$ 杭先抵抗係数 $m =$ 杭周抵抗係数と呼稱し、 n および m と杭の直径との関係を示すと図-5の如くになる。杭の直径 10~40mm の間は、直径が大きくなるに従って n, m は急激に減少し、直径 40mm 以上杭先角度 $60, 100$ においては殆んど直線的変化を示して、杭の直径 10~40mm の間において直径が大きくなるに従って n, m が減少する理由は明らかでないが、土の粒径と杭の直径との間に何%の關係があり、かゝる現象を呈するものと考えられる。また杭の直径 40mm 以上における杭先角度 20 の場合、特別大きな変化を示し、 n の値は杭先角度が大きくなるに従って大きくなり m の値はその逆を示すが、これは参考文献(4)に述べた原因によるものと考えらる。

図-5 杭径と杭先抵抗係数(n)との関係



杭径と杭周抵抗係数(m)との関係

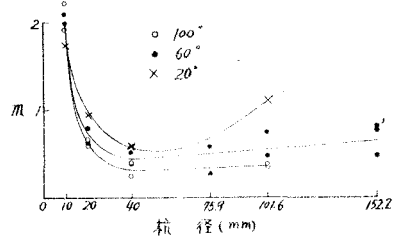


図-6 (1)式の相関性

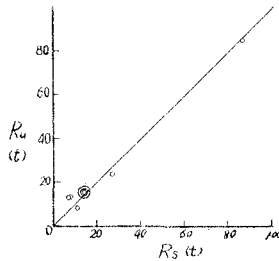
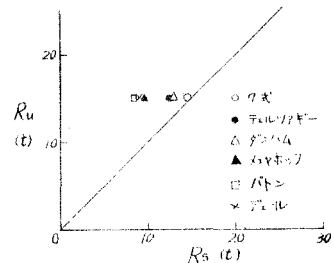


図-7 筆者自身の行った実験結果に対する相関性



この内現在解明できないう部分、また実用的に、杭先角度 20 を一応除外すると、杭の直径 40mm 以上杭先角度 $60, 100$ が対象となる杭先角度 $10, 100$ の差は僅少で杭先角度 60 を基準とした場合 100 は近似的に等しいが、安全側であるに従って現在普通使用されてゐる杭先角度 60 を基準に考えるとその実験値から次の關係が考えられる。

$$R_{u, \max} = 0.909 \times 10^{-4} (2R - 40) + 0.950 \quad \dots (3), \quad R_{u, \min} = 0.909 \times 10^{-4} (2R - 40) + 0.880 \quad \dots (4)$$

$$M_{u, \max} = 1.143 \times 10^{-3} (2R - 40) + 0.680 \quad \dots (5), \quad M_{u, \min} = 0.952 \times 10^{-3} (2R - 40) + 0.420 \quad \dots (6)$$

(右に R は杭の半径 mm)

実用的には安全側を採るべきであると考え、(1),(2)の K_p, K は次の如くになり

$$K_p e^{\pi \{0.909 \times 10^{-4} (2R - 40) + 0.950\}} = K_p e^{\pi K} \quad \dots (7), \quad 1 + \{0.952 \times 10^{-3} (2R - 40) + 0.420\} \tan^2 \phi = K \quad \dots (8)$$

支持力は

$$Q = \pi R \frac{1.143 \times 10^{-3} + 0.680}{1.57 \pi} \times 8HK_p e^{\pi K} + \frac{1}{2} L K U_s (H - h)^2 \quad \dots (9)$$

と作る。今参考文献(6)の砂壤土の実験データおよび

筆者自身の行った杭長 5m 杭径 250mm のデータを基に(9)式の相関性を調べると図-8, 9の如くになり筆者自身のデータを基に杭先抵抗杭周抵抗の支持力に占める割合を調べるとそれぞれ 59.7%, 40.1% となり大体妥当な値と考えられるが、試験が少なかったため、これを決定することは出来なかつた。結果があると考へる。また前記実験結果から考へて模型杭の実験は少なくとも直径 40mm 以上を望ましく、また杭には相似率は成り立たないが、杭の寸法効果もさう立場から模型実験を行なはば定性的にも定量的にも十分役立つ結果を得られたものと考へる。

参考文献: (1) 土木研究所報告 No. 12, (2) 土木研究所報告 No. 12, (3) 土木研究所報告 No. 12, (4) 土木研究所報告 No. 12, (5) 土木研究所報告 No. 12, (6) 土木研究所報告 No. 12, (7) 土木研究所報告 No. 12, (8) 土木研究所報告 No. 12, (9) 土木研究所報告 No. 12